

CAPITULO VI

SIMULACIÓN PARA DEFINIR EL PROCESO Y LAS CONDICIONES MÁS ADECUADAS DE OPERACIÓN DE LA BATERÍA PUERTO CEIBA.

PROBLEMÁTICA

Con lo que respecta a la infraestructura para el manejo de la producción y debido al índice de productividad del campo petrolero descubierto, se tuvo la necesidad de crear una infraestructura petrolera a fin de cubrir los requerimientos de separación y medición de hidrocarburos, y su posterior bombeo a los centros de proceso o exportación más cercanos; para ello, en 1998 se construyó la Batería de Separación Puerto Ceiba, procesando una producción aproximada de 10,000 BPD de aceite y 6 MMMPCD de gas. Sin embargo, debido al incremento en la producción de los pozos, el equipo instalado en la Batería de Separación Puerto Ceiba es insuficiente, por lo que actualmente la instalación únicamente opera como cabezal recolector de pozos, mandando la producción de hidrocarburos del campo a la Batería de Separación Dos Bocas por un oleogasoducto de baja presión de 16"Ø.

ANÁLISIS DE LOS DIFERENTES DIAGRAMAS DE FLUJO DE PROCESO

Mediante el simulador de procesos PRO-II de la Compañía SIMSCI, utilizando la correlación de Soave-redlich-kwong. Se estudiaron tres diferentes esquemas de procesos, basados en sistemas multietapas de separación, teniendo como finalidad la selección del esquema en que se obtenga la mayor cantidad de condensados y el menor consumo de energía.

Las diferencias entre los esquemas estudiados radican en las etapas de separación y la forma de realizarla, es decir en uno de los esquemas se analizaron tres etapas de separación con separadores trifásicos, en otro esquema se planteó la separación en dos etapas con separadores trifásicos convencionales y la tercera opción en dos etapas empleando un separador trifásico y un tanque elevado que nos ayuda en la estabilización del hidrocarburo líquido.

SEPARACIÓN MULTIETAPA

Para realizar una comparación de los diferentes procesos para la separación del petróleo crudo, se necesita establecer un caso base de referencia en el cual se describa el manejo integral de la producción obtenida (aceite, gas y condensados) al final del proceso.

Para el proceso de simulación en este caso base, así como para los métodos de separación de los hidrocarburos se aplican las condiciones de la producción para entrar a la etapa de separación en alta presión y a las etapas subsecuentes no se incorpora la producción de otros pozos, solo se incorporan los líquidos producto de la condensación del gas.

ANÁLISIS DEL ESQUEMA BASE DE LA BATERIA

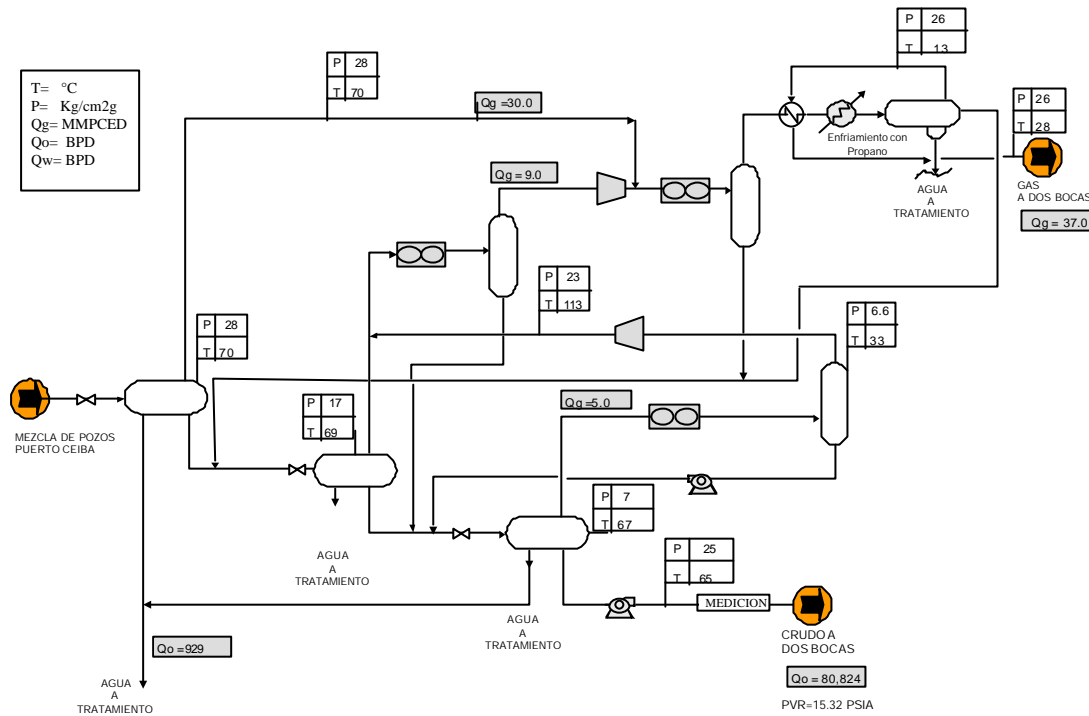
Tomando como base las condiciones actuales de producción de los pozos y la corriente en conjunto de estos, la temperatura, la presión, la composición y el pronóstico de producción, se comenzaron a plantear varias opciones de diseño para la simulación del proceso que pudiera esperarse en la operación de la batería modular Puerto Ceiba.

Capítulo VI

Simulación para definir el proceso y las condiciones de operación de la batería Puerto Ceiba .

Como esquema inicial se plantea un proceso de separación multietapas (Figura 11).

Figura 11.-Esquema Base Batería Puerto Ceiba



La mezcla de hidrocarburos líquidos y gaseosos producidos por los pozos entra a la etapa de separación con separadores trifásicos de alta presión, donde se pretende alcanzar el equilibrio vapor-líquido correspondiente a las condiciones de presión y temperatura de esta etapa. El líquido obtenido pasa a la etapa de separación de presión intermedia y subsecuentemente a la de baja presión, para que posteriormente el líquido descargado por esta última etapa es bombeado a su destino que es la terminal marítima Dos Bocas. En el proceso de separación, el gas recuperando en el primer separador, que es el mayor volumen obtenido en el proceso de separación, se envía a tres etapas de enfriamiento el proceso de enfriamiento consiste en enfriadores mecánicos (Soloaire) el cual reduce la temperatura, hasta una cercana a la temperatura ambiente, para entrar a un

rectificador de alta presión, así mismo la corriente de gas que sale del separador de presión intermedia después de pasar por enfriamiento mecánico entra a su respectivo rectificador, posteriormente entra a un paso de compresión para suministrar la energía suficiente para integrarlo a la corriente de gas proveniente de la etapa de alta presión, del mismo modo el gas que abandona el separador de baja presión, pasa a un sistema de compresión para integrarse a la corriente de salida de gas del separador de presión intermedia. La última etapa de enfriamiento para lograr bajar la temperatura del gas y eliminar mayor volumen de condensados que se integran a la corriente de aceite, se contempló necesario un enfriador con propano, el volumen final obtenido del gas es enviado también a la Terminal Marítima Dos Bocas.

El volumen de agua que se obtenga producto de la separación, será destinado a su tratamiento dependiendo de las condiciones que se requiera por su destino final.

Los resultados obtenidos en esta simulación se muestran en las tablas 5, 5A, 6 y 6-A para el aceite, 7, 7-A, 8 y 8-A para el gas y 9 y 10 para el agua, donde se muestran las condiciones de presión, temperatura de operación, componentes y volúmenes obtenidos para cada uno de los elementos físicos que intervienen en el proceso.

Capítulo VI

Simulación para definir el proceso y las
condiciones de operación de la batería
Puerto Ceiba .

Tabla 6.- Esquema Base Propiedades de la corriente de aceite

Corriente	Nombre	CORR	Aceite	Aceite	Aceite	Aceite	Aceite	Aceite
	Descripción	LLEGADA	ST1-M1	M1-V1	V1_ST2	ST2-M3	V2-ST-3	M3-V2
	Fase	Líquido	Líquido	Mezcla	Mezcla	Líquido	Mezcla	Mezcla
Propiedades de la Corriente Total								
Flujo	KG-MOL/DAY	100020.711	59986.227	67131.102	67131.102	59657.324	63954.504	63954.504
	KG/DAY	11355974	10284781	10588880	10374151	10565456	10565456	10565456
Flujo de Líquido Std	BBL/DAY	98488	81580	85041	82140	84209	84209	84209
Temperatura	C	100.000	100.000	96.987	96.952	95.325	93.680	93.747
Presión	PSIA	13057	398	383	378	242	232	237
Peso Molecular		113.536	171.452	157.734	157.734	173.896	165.203	165.203
Entalpia	MM BTU/DAY	3247.990	1875.239	1890.293	1890.293	1780.258	1794.182	1794.182
	BTU/KG	286.015	182.331	178.516	178.516	171.604	169.815	169.815
Fracción Mol del Líquido		1.0000	1.0000	0.9573	0.9552	1.0000	0.9715	0.9742
Temp.Reducida		0.7991	0.6094	0.6242	0.6241	0.5922	0.5997	0.5998
Pres.		26.3150	1.0023	0.8048	0.7943	0.6263	0.5202	0.5314
Factor Acentrico		0.3051	0.4660	0.4378	0.4378	0.4745	0.4579	0.4579
Watson K (UOPK)		12.651	12.239	12.285	12.285	12.227	12.250	12.250
Densidad Std. Del Líquido	G/CM3	0.725	0.793	0.783	0.783	0.794	0.789	0.789
Gravedad Específica		0.7260	0.7937	0.7839	0.7839	0.7952	0.7899	0.7899
Gravedad API		63.417	46.770	48.996	48.996	46.448	47.626	47.626
Propiedades de la Fase Vapor								
Flujo	KG-MOL/DAY	n/a	n/a	1428.494	1573.512	n/a	717.222	534.716
	KG/DAY	n/a	n/a	39779	43949	n/a	23089	17111
	M'FT3/DAY	n/a	n/a	0.055	0.061	n/a	0.045	0.033
Flujo Std. De Vapor	M'FT3/DAY	n/a	n/a	1.195	1.316	n/a	0.600	0.447
Gravedad Específica (Aire=1.0)		n/a	n/a	0.961	0.964	n/a	1.111	1.105
Peso Molecular		n/a	n/a	27.847	27.930	n/a	32.192	31.999
Entalpia	BTU/KG	n/a	n/a	493.088	494.148	n/a	525.970	524.319
CP	BTU/KG-C	n/a	n/a	2.099	2.096	n/a	2.012	2.015
Densidad	G/CM3	n/a	n/a	0.026	0.025	n/a	0.018	0.018
Conductividad Térmica	BTU/HR-FT-F	n/a						
Viscosidad	CP	n/a						
Propiedades de la Fase Líquida								
Flujo	KG-MOL/DAY	100020.711	59986.227	65702.609	65557.594	59657.324	63237.281	63419.785
	KG/DAY	11355974.000	10284781.000	10549101.000	10544932.000	10374151.000	10542368.000	10548346.000
	BBL/DAY	97476.977	88318.352	91442.844	91362.109	88488.500	90373.227	90480.984
Flujo Std. Del Líquido	BBL/DAY	98488.086	81579.945	84439.273	84377.203	82140.234	83883.344	83966.867
Gravedad Específica (H2O @ 60 F)		0.7260	0.7937	0.7866	0.7866	0.7952	0.7913	0.7909
Peso Molecular		113.536	171.452	160.558	160.850	173.896	166.711	166.326
Entalpia	BTU/KG	286.015	182.331	177.330	177.201	171.604	169.035	169.240
CP	BTU/KG-C	2.119	2.135	2.139	2.138	2.118	2.121	2.122
Densidad	G/CM3	0.733	0.732	0.726	0.726	0.737	0.734	0.733
Tensión Superficial	DYNE/CM	n/a						
Conductividad Térmica	BTU/HR-FT-F	n/a						
Viscosidad	CP	n/a						

Capítulo VI

Simulación para definir el proceso y las condiciones de operación de la batería Puerto Ceiba .

Tabla 8A.- Esquema base propiedades de la corriente de gas

Corriente	Nombre	CORR	Gas	Gas	Gas	Gas	Gas	Gas	Gas
Descripción	LLEGADA	M4-S1	ST3-S3	S2-REC2	REC2-IC1	IC1-IC2	IC2-ST4	ST4-IC1	IC1-TMDB
Fase	Líquido	Vapor	Vapor	Mezcla	Vapor	Mezcla	Mezcla	Vapor	Vapor
<i>Propiedades de la Corriente Total</i>									
Flujo	KG-MOL/DAY	100020.711	13741.633	8782.136	52799.805	49562.559	49562.559	45590.055	45591.855
	KG/DAY	11355974.000	486613.125	339781.594	1448974.000	1328458.125	1328458.125	1143706.500	1143766.750
Flujo de Líquido Std.	BBL/DAY	98488.086	6651.318	4312.247	22145.045	20907.221	20907.221	18676.627	18677.516
Temperatura	C	100.000	98.050	88.745	33.000	33.000	25.799	13.000	28.000
Presión	PSIA	13057.024	242.000	99.540	393.253	393.253	388.253	383.253	378.253
Peso Molecular		113.536	35.412	38.690	27.443	26.804	26.804	25.087	25.087
Entalpia	MM BTU/DAY	3247.990	249.037	197.087	425.706	415.431	380.409	308.783	303.940
	BTU/KG	286.015	511.774	580.036	293.797	312.716	286.352	232.436	265.749
Fracción Mol del Líquido		1.0000	0.0000	0.0000	0.0334	0.0000	0.0218	0.0788	0.0000
Temp.Reducida		0.7991	1.1599	0.9829	1.1212	1.1879	1.1600	1.1103	1.1551
Pres.		26.3150	0.3340	0.1124	0.5243	0.5759	0.5685	0.5612	0.5589
Factor Acentrico		0.3051	0.1180	0.1539	0.0816	0.0702	0.0702	0.0702	0.0625
Watson K (UOPK)		12.651	15.481	14.834	16.307	16.619	16.619	16.619	16.965
Densidad Std Del Liquid@/CM3		0.725	0.460	0.496	0.412	0.400	0.400	0.400	0.385
Gravedad Específica		0.7260	0.4606	0.4961	0.4120	0.4001	0.4001	0.3856	0.3856
Gravedad API		63.417	175.695	153.729	211.984	222.203	222.203	235.507	235.505
<i>Propiedades de la Fase Vapor</i>									
Flujo	KG-MOL/DAY	n/a	13741.633	8782.136	49562.559	49562.559	48448.480	45590.051	45591.855
	KG/DAY	n/a	486613.125	339781.594	1328458.250	1328458.125	1273071.125	1143706.375	1143766.750
	M*FT3/DAY	n/a	0.828	1.304	1.430	1.430	1.377	1.250	1.250
Flujo Std. De Vapor	M*FT3/DAY	n/a	11.497	7.347	41.465	41.465	40.533	38.142	38.142
Gravedad Específica (Aire=1.0)		n/a	1.223	1.336	0.925	0.925	0.907	0.866	0.866
Peso Molecular		n/a	35.412	38.690	26.804	26.804	26.277	25.087	25.087
Entalpia	BTU/KG	n/a	511.774	580.036	312.716	312.716	296.366	265.749	265.749
CP	BTU/KG-C	n/a	2.038	1.923	2.026	2.026	2.019	2.012	2.000
Densidad	G/CM3	n/a	0.021	0.009	0.033	0.033	0.033	0.032	0.029
Conductividad Termal	BTU/HR-FT-F	n/a	n/a	n/a	n/a	n/a	n/a	n/a	n/a
Viscosidad	CP	n/a	n/a	n/a	n/a	n/a	n/a	n/a	n/a
<i>Propiedades de la Fase Líquida</i>									
Flujo	KG-MOL/DAY	100020.711	n/a	n/a	3237.248	n/a	1114.075	3972.506	n/a
	KG/DAY	11355974.000	n/a	n/a	12051.695	n/a	55387.055	184751.828	n/a
	BBL/DAY	97476.977	n/a	n/a	1278.948	n/a	655.427	2186.266	n/a
Flujo Std. Del Líquido	BBL/DAY	98488.086	n/a	n/a	1237.824	n/a	643.496	2230.598	n/a
Gravedad Específica (H2O @ 60 F)		0.7260	n/a	n/a	0.6130	0.5518	0.5419	0.5215	n/a
Peso Molecular		113.536	n/a	n/a	37.228	53.195	49.716	46.508	n/a
Entalpia	BTU/KG	286.015	n/a	n/a	85.254	n/a	56.186	26.211	n/a
CP	BTU/KG-C	2.119	n/a	n/a	2.805	n/a	2.503	2.490	n/a
Densidad	G/CM3	0.733	n/a	n/a	0.593	0.531	0.532	0.532	n/a
Tensión Superficial	DYNE/CM	n/a	n/a	n/a	n/a	n/a	n/a	n/a	n/a
Conductividad Termal	BTU/HR-FT-F	n/a	n/a	n/a	n/a	n/a	n/a	n/a	n/a
Viscosidad	CP	n/a	n/a	n/a	n/a	n/a	n/a	n/a	n/a

Capítulo VI

Simulación para definir el proceso y las
condiciones de operación de la batería
Puerto Ceiba .

Tabla 9.- Esquema Base componentes del agua

		Flujo de los Componentes				
Corriente	Nombre	CORR_AGUA	DESC_W1	DESC_W2	DESC_W-3	DESC_W4
	Descripción	A g u a	A g u a	A g u a	A g u a	A g u a
Temperatura	C	144.000	100.000	95.325	88.745	13.000
Presión	PSIA	13057.024	398.253	242.000	99.540	383.253
Peso Molecular		18.015	18.015	18.015	18.015	18.015
Gasto de Componente	MKG-MOL/DAY					
N2						
CO2						
H2SO4						
METANO						
ETANO						
PROPANO						
IBUTANO						
BUTANO						
IPENTANO						
PENTANO						
HEXANO						
c7+						
H2O		2643.779	610.699	1228.428	401.370	64.881
Total	KG-MOL/DAY	2643.779	610.699	1228.428	401.370	64.881
Fracción Mol del Componente						
N2						
CO2						
H2SO4						
METANO						
ETANO						
PROPANO						
IBUTANO						
BUTANO						
IPENTANO						
PENTANO						
HEXANO						
c7+						
H2O		1.0000	1.0000	1.0000	1.0000	1.0000

Capítulo VI

Simulación para definir el proceso y las condiciones de operación de la batería Puerto Ceiba .

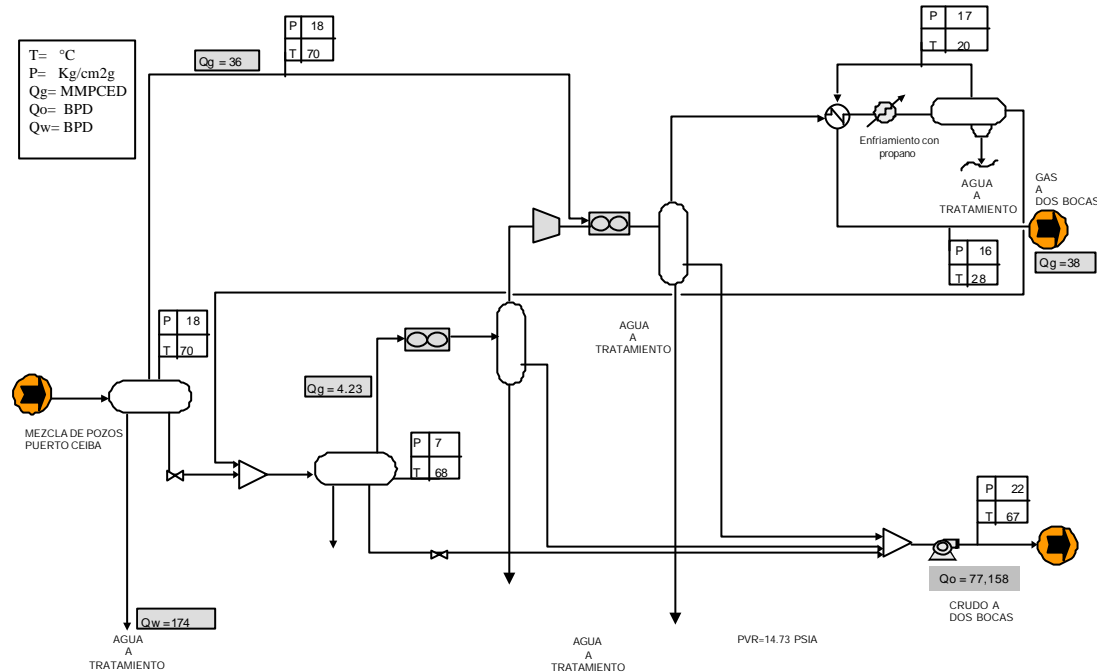
Tabla 10.- Esquema base propiedades de la corriente de agua

Corriente	Nombre Descripción Fase	CORR_AQUA	DESC_W1	DESC_W2	DESC_W-3	DESC_W4
		Water	Aqua	Water	Water	Water
Propiedades de la Corriente Total						
Flujo	KG-MOL/DAY	2643.779	610.699	1228.428	401.370	64.881
Flujo de Líquido Std.	KG/DAY	47627.688	11001.742	22130.133	7230.677	1168.826
Temperatura	BBL/DAY	299.999	69.298	139.394	45.545	7.362
Presión	C	144.000	100.000	95.325	88.745	13.000
Peso Molecular	PSIA	13057.024	398.253	242.000	99.540	383.253
Entalpia	MM BTU/DAY	18.015	18.015	18.015	18.015	18.015
	BTU/KG	56.732	4.388	8.397	2.546	0.063
Fracción Mol del Líquido		1191.144	398.837	379.418	352.069	54.194
Temp.Reducida	0.0000	0.0000	0.0000	0.0000	0.0000	0.0000
Pres.	0.6444	0.5764	0.5692	0.5590	0.4420	
Factor Acentrico	4.0700	0.1241	0.0754	0.0310	0.1195	
Watson K (UOPK)	0.3480	0.3480	0.3480	0.3480	0.3480	
Densidad Std. Del Líquido	G/CM3	8.762	8.762	8.762	8.762	
Gravedad Específica		0.999	0.999	0.999	0.999	
Gravedad API		0.9996	0.9996	0.9996	0.9996	
		10.063	10.063	10.063	10.063	10.063
Propiedades de la Fase Vapor						
Flujo	KG-MOL/DAY	n/a	n/a	n/a	n/a	n/a
	KG/DAY	n/a	n/a	n/a	n/a	n/a
Flujo Std. De Vapor	M*FT3/DAY	n/a	n/a	n/a	n/a	n/a
Gravedad Específica (Aire=1.0)	M*FT3/DAY	n/a	n/a	n/a	n/a	n/a
Peso Molecular		n/a	n/a	n/a	n/a	n/a
Entalpia	BTU/KG	n/a	n/a	n/a	n/a	n/a
CP	BTU/KG-C	n/a	n/a	n/a	n/a	n/a
Densidad	G/CM3	n/a	n/a	n/a	n/a	n/a
Conductividad Termal	BTU/HR-FT-F	n/a	n/a	n/a	n/a	n/a
Viscosidad	CP	n/a	n/a	n/a	n/a	n/a
Propiedades de la Fase Líquida						
Flujo	KG-MOL/DAY	2643.779	610.699	1228.428	401.370	64.881
	KG/DAY	47627.688	11001.742	22130.133	7230.677	1168.826
Flujo Std. Del Líquido	BBL/DAY	324.758	72.203	144.737	47.070	7.359
Gravedad Específica (H2O @ 60 F)	BBL/DAY	299.999	69.298	139.394	45.545	7.362
Peso Molecular		0.9996	0.9996	0.9996	0.9996	0.9996
Entalpia	BTU/KG	18.015	18.015	18.015	18.015	18.015
CP	BTU/KG-C	1191.144	398.837	379.418	352.069	54.194
Densidad	G/CM3	29.277	3.988	3.986	3.986	3.961
Tensión Superficial	DYNE/CM	0.922	0.958	0.962	0.966	0.999
Conductividad Termal	BTU/HR-FT-F	50.2366	59.2870	60.1845	61.4233	73.2227
Viscosidad	CP	0.39763	0.39225	0.39091	0.38876	0.34290
		0.18925	0.27907	0.29339	0.31593	1.19684

SEPARACIÓN EN DOS ETAPAS (CASO 2)

La diferencia entre el caso anterior y el caso dos, es que en este último se está considerando solamente dos etapas de separación, es decir la primera etapa separa a una presión de 25 Kg/cm², mientras que la segunda etapa de separación esta separando a 7 Kg/cm², el esquema completo de este proceso se observa en la figura 12.

Figura 12.-Esquema caso 2 Batería Puerto Ceiba



El objetivo de poner solamente dos etapas de separación, en primera, fue el de saber si con solamente dos etapas de separación podríamos obtener la misma cantidad de condensados que en el caso base, o mejorar todavía con menos equipo, lo cual será un reflejo en los análisis económicos que se realizará de esta etapa.

DESCRIPCIÓN DEL MANEJO DE LA PRODUCCIÓN

Después de separarse el gas, aceite y agua en la etapa de alta presión, el aceite pasara a la segunda etapa de separación, posteriormente este pasara a través de un mezclador para juntarse con las corrientes de condensado que se recuperan en la segunda y tercera etapa de estabilización, y esta mezcla es enviada a la Terminal Marítima de Dos Bocas con ayuda de una bomba.

Los vapores liberados en la primera etapa de separación son enviados directamente al intercambiador de calor, al que también recibe la corriente de vapor recuperada en la primera etapa de rectificación. Esta corriente de vapores es la que se obtiene del separador de baja presión.

Después de juntarse estas dos corrientes de vapor, son enviadas a la segunda torre de estabilización, el vapor obtenido es enviado al compresor y los líquidos se envían directamente a la corriente que irá hacia la TMDB.

La corriente de vapor del compresor posteriormente es enviado al intercambiador de calor 2 con una temperatura de 143° C y pasa por el Soloaire a una temperatura de 33° C que es la temperatura atmosférica.

Continua el proceso del vapor y llega a la segunda etapa de estabilización, en donde se recupera una gran cantidad de líquidos, y los vapores son enviados a la etapa de enfriamiento y así recuperar los condensados que todavía permanecen en la corriente de vapor.

En la figura 12 se presenta el proceso anteriormente descrito, así como las condiciones de operación para el tratamiento del aceite producido. En las tablas 11, 11-A, 12 y 12-A para el aceite, 13, 13-A, 14, y 14-A para el gas y 15 y 16 para el agua, se muestran las características de las diferentes corrientes manejadas en este proceso así como las características de los componentes, las cuales representan el balance de masa que se lleva a cabo en el mismo.

Capítulo VI

Simulación para definir el proceso y las condiciones de operación de la batería Puerto Ceiba .

Tabla 13.- Esquema Caso 2 componentes del gas

Flujo de Componentes							
Corriente	Nombre	CORRIENTE	GAS	GAS	GAS	GAS	GAS
Fase	Descripción	LLEGADA	ST1-S2	ST2-SOL1	S1-REC1	REC1-C1	C1-S2
		Líquido	Vapor	Vapor	Mezcla	Vapor	Vapor
Temperatura	C	144	70.000	68.126	33.000	33.000	89.190
Presión	KG/CM2	911.0165405	18.048	8.064	7.712	7.712	18.048
Peso Molecular		113.5362244	25.866	31.790	31.790	32.067	32.067
Flujo molar del Componente		KG-MOL/DAY					
N2		294.0613403	285.620	7.719	7.719	7.719	293.339
CO2		2374.495117	2009.027	214.652	214.652	214.636	214.636
H2SO4		27355.70313	24989.568	1750.907	1750.907	1750.901	1750.901
METANO		10505.19043	7679.323	1140.581	1140.581	1140.572	1140.572
ETANO		7896.646973	4013.335	766.331	766.331	766.312	4779.646
PROPANO		1265.263794	434.340	89.553	89.553	89.548	89.548
IBUTANO		5929.236328	1667.350	349.600	349.600	349.573	349.573
BUTANO		1599.333496	259.779	54.959	54.959	54.949	54.949
IPENTANO		2153.448975	293.812	62.038	62.038	62.024	62.024
PENTANO		4249.88623	257.851	53.134	53.134	53.097	53.097
HEXANO		35600.42578	0.224	0.029	0.029	0.000	0.000
c7+			774.678	121.531	121.531	30.089	30.089
H2O			0.036	0.006	0.006	0.001	0.001
Total		KG-MOL/DAY	797.1661987				
			100020.8516	42664.941	4611.040	4519.422	4519.422
							47184.363
Fracción Mol del Componente							
N2			0.00294	0.0067	0.0017	0.0017	0.0062
CO2			0.023740001	0.0471	0.0466	0.0475	0.0471
H2SO4			0.273499995	0.5857	0.3797	0.3797	0.5667
METANO			0.10503	0.1800	0.2474	0.2474	0.1869
ETANO			0.078950003	0.0941	0.1662	0.1662	0.1013
PROPANO			0.01265	0.0102	0.0194	0.0194	0.0111
IBUTANO			0.059280001	0.0391	0.0758	0.0758	0.0427
BUTANO			0.01599	0.0061	0.0119	0.0119	0.0122
IPENTANO			0.02153	0.0069	0.0135	0.0135	0.0137
PENTANO			0.042490002	0.0060	0.0115	0.0115	0.0117
HEXANO			0.355930001	0.0000	0.0000	0.0000	0.0000
c7+				0.0182	0.0264	0.0264	0.0067
H2O				0.00797	0.0000	0.0000	0.0000

Tabla 13-A.- Esquema Caso 2 componentes del gas

Flujo de Componentes							
Corriente	Nombre	CORRIENTE	GAS	GAS	GAS	GAS	GAS
Fase	Descripción	LLEGADA	REC2-C2	IC1-IC2	IC2-REC4	REC4-IC1	IC1_TMDB
		Líquido	Vapor	Mezcla	Mezcla	Vapor	Vapor
Temperatura	C	144	33.000	26.788	20.000	20.000	28.000
Presión	KG/CM2	911.0165405	17.696	17.344	16.993	16.993	16.641
Peso Molecular		113.5362244	26.577	26.577	26.577	26.043	26.043
Flujo molar del Componente		KG-MOL/DAY					
N2		294.0613403	293.338	293.338	293.338	293.184	293.184
CO2		2374.495117	2223.390	2223.390	2223.390	2214.438	2214.438
H2SO4		27355.70313	26740.266	26740.266	26740.266	26694.799	26694.799
METANO		10505.19043	8819.671	8819.671	8819.671	8738.392	8738.392
ETANO		7896.646973	4779.294	4779.294	4779.294	4641.263	4641.263
PROPANO		1265.263794	523.804	523.804	523.804	488.704	488.704
IBUTANO		5929.236328	2016.463	2016.463	2016.463	1832.137	1832.137
BUTANO		1599.333496	314.570	314.570	314.570	253.800	253.800
IPENTANO		2153.448975	355.616	355.616	355.616	276.425	276.425
PENTANO		4249.88623	310.358	310.358	310.358	153.959	153.959
HEXANO		35600.42578	0.002	0.002	0.002	0.000	0.000
c7+			140.917	140.917	140.917	67.622	67.622
H2O			0.005	0.005	0.005	0.000	0.000
Total		KG-MOL/DAY	797.1661987				
			100020.8516	46517.695	46517.695	45654.723	45654.723
Fracción Mol del Componente							
N2			0.00294	0.0063	0.0063	0.0064	0.0064
CO2			0.023740001	0.0478	0.0478	0.0485	0.0485
H2SO4			0.273499995	0.5748	0.5748	0.5847	0.5847
METANO			0.10503	0.1896	0.1896	0.1914	0.1914
ETANO			0.078950003	0.1027	0.1027	0.1017	0.1017
PROPANO			0.01265	0.0113	0.0113	0.0107	0.0107
IBUTANO			0.059280001	0.0433	0.0433	0.0401	0.0401
BUTANO			0.01599	0.0068	0.0068	0.0056	0.0056
IPENTANO			0.02153	0.0076	0.0076	0.0061	0.0061
PENTANO			0.042490002	0.0067	0.0067	0.0034	0.0034
HEXANO			0.355930001	0.0000	0.0000	0.0000	0.0000
c7+				0.0030	0.0030	0.0015	0.0015
H2O				0.00797	0.0000	0.0000	0.0000

Capítulo VI

Simulación para definir el proceso y las condiciones de operación de la batería Puerto Ceiba .

Tabla 14.- Esquema Caso 2 propiedades de la corriente de gas

Corriente Nombre Descripción Fase	CORRIENTE LLEGADA	GAS ST1-S2 Vapor	GAS ST2-SOL1 Vapor	GAS S1-REC1 Mezcla	GAS REC1-C1 Vapor	GAS C1-S2 Vapor	GAS S2-REC2 Mezcla
<i>Propiedades de la Corriente Total</i>							
Flujo	KG-MOL/DAY	100020.852	42664.941	4611.040	4611.040	4519.422	4519.422
	KG/DAY	11355990.000	1103557.000	146586.078	146586.078	144922.391	144922.391
Flujo de Líquido Std.	BBL/DAY	96083.664	17449.611	2107.203	2107.203	2096.682	2096.682
Temperatura	C	144.000	70.000	68.126	33.000	89.190	33.000
Presión	KG/CM2	911.017	18.048	8.064	7.712	7.712	18.048
Peso Molecular		113.536	25.866	31.790	31.790	32.067	26.460
Entalpia	MM BTU/DAY	4194.045	460.613	67.033	53.983	53.758	68.956
	BTU/KG	369.323	417.388	457.289	368.265	370.939	405.845
Fracción Mol del Líquido		1.0000	0.0000	0.0000	0.0199	0.0000	0.0000
Temp. Reducida		0.8807	1.3291	1.1428	1.0252	1.0500	1.2427
Pres.		25.7821	0.3545	0.1559	0.1491	0.1600	0.3744
Factor Acentrífico		0.3006	0.0703	0.1020	0.1020	0.0970	0.0970
Watson K (UOPK)		11.362	16.590	15.882	15.882	15.963	15.963
Densidad Std. Del Líquido	KG/BBL	111.189	6.242	69.564	69.564	69.120	69.120
Gravedad Específica		0.7441	0.3982	0.4380	0.4380	0.4352	0.4021
Gravedad API		56.658	223.870	191.575	191.575	193.653	220.363
<i>Propiedades de la Fase Vapor</i>							
Flujo	KG-MOL/DAY	n/a	42664.941	4611.040	4519.422	4519.422	46517.695
	KG/DAY	n/a	1103557.000	146586.078	144922.391	144922.391	1236313.625
	M'FT3/DAY	n/a	2.306	0.562	0.509	0.509	2.217
Flujo Std. De Vapor	M'FT3/DAY	n/a	35.694	3.858	3.781	3.781	38.918
Gravedad Específica (Aire=1.0)		n/a	0.893	1.098	1.107	1.107	0.918
Peso Molecular		n/a	25.866	31.790	32.067	32.067	26.577
Entalpia	BTU/KG	n/a	417.388	457.289	370.939	370.939	462.009
Cp	BTU/KG-C	n/a	1.990	1.877	1.766	1.766	2.018
Densidad	KG/M'FT3	n/a	478570.500	260848.656	284919.594	284919.594	574172.625
Conductividad Termal	BTU/HR-FT-F	n/a	n/a	n/a	n/a	n/a	557605.063
Viscosidad	CP	n/a	n/a	n/a	n/a	n/a	n/a
<i>Propiedades de la Fase Líquida</i>							
Flujo	KG-MOL/DAY	100020.852	n/a	n/a	91.618	n/a	n/a
	KG/DAY	11355990.000	n/a	n/a	1663.692	n/a	n/a
	BBL/DAY	98288.201	n/a	n/a	10.680	n/a	n/a
Flujo Std. Del Líquido	BBL/DAY	96083.664	n/a	n/a	10.520	n/a	n/a
Gravedad Específica (H2O @ 60 F)		0.7441	n/a	n/a	0.6557	n/a	0.9907
Peso Molecular		113.536	n/a	n/a	18.159	n/a	18.249
Entalpia	BTU/KG	369.323	n/a	n/a	135.336	n/a	135.842
Cp	BTU/KG-C	2.215	n/a	n/a	3.367	n/a	3.358
Densidad	KG/BBL	115.538	n/a	n/a	155.774	n/a	154.997
Tensión Superficial	DYNE/CM	n/a	n/a	n/a	n/a	n/a	n/a
Conductividad Termal	BTU/HR-FT-F	n/a	n/a	n/a	n/a	n/a	n/a
Viscosidad	CP	n/a	n/a	n/a	n/a	n/a	n/a

Capítulo VI

Simulación para definir el proceso y las condiciones de operación de la batería Puerto Ceiba .

Tabla 14-A.- Esquema Caso 2 propiedades de la corriente de gas

Corriente Nombre Descripción Fase	CORRIENTE LLEGADA					
	Líquido	GAS REC2-C2 Vapor	GAS IC1-IC2 Mezcla	GAS IC2-REC4 Mezcla	GAS REC4-IC1 Vapor	GAS IC1_TMDB Vapor
Propiedades de la Corriente Total						
Flujo	KG-MOL/DAY	100020.852	46517.695	46517.695	45654.723	45654.723
	KG/DAY	1135590.000	1236313.625	1236313.625	1189003.000	1189003.000
Flujo de Líquido Std.	BBL/DAY	96083.664	19468.977	19468.977	18956.277	18956.277
Temperatura	C	144.000	33.000	26.788	20.000	28.000
Presión	KG/CM2	911.017	17.696	17.344	16.993	16.641
Peso Molecular		113.536	26.577	26.577	26.577	26.043
Entalpia	MM BTU/DAY	4194.045	404.193	385.648	357.884	355.982
	BTU/KG	369.323	326.932	311.933	289.459	299.377
Fracción Mol del Líquido		1.0000	0.0000	0.0043	0.0186	0.0000
Temp. Reducida		0.8807	1.1966	1.1723	1.1458	1.1608
Pres.		25.7821	0.3675	0.3602	0.3529	0.3538
Factor Acentrico		0.3006	0.0689	0.0689	0.0689	0.0663
Watson K (UOPK)		12.362	16.593	16.593	16.593	16.712
Densidad Std. Del Líquido	KG/BBL	118.189	63.502	63.502	63.502	62.723
Gravedad Específica		0.7441	0.3998	0.3998	0.3998	0.3949
Gravedad API		58.658	222.420	222.420	222.420	226.811
Propiedades de la Fase Vapor						
Flujo	KG-MOL/DAY	n/a	46517.695	46317.680	45654.723	45654.723
	KG/DAY	n/a	1236313.625	1225915.875	1189003.000	1189003.000
	M'FT3/DAY	n/a	2.217	2.199	2.158	2.287
Flujo Std. De Vapor	M'FT3/DAY	n/a	38.918	38.750	38.196	38.196
Gravedad Específica (Aire=1.0)		n/a	0.918	0.914	0.899	0.899
Peso Molecular		n/a	26.577	26.468	26.043	26.043
Entalpia	BTU/KG	n/a	326.932	314.085	299.377	299.377
CP	BTU/KG-C	n/a	1.907	1.893	1.879	1.879
Densidad	KG/M'FT3	n/a	557605.063	557603.375	551039.625	551039.625
Conductividad Termal	BTU/HR-FT-F	n/a	n/a	n/a	n/a	n/a
Viscosidad	CP	n/a	n/a	n/a	n/a	n/a
Propiedades de la Fase Líquida						
Flujo	KG-MOL/DAY	100020.852	n/a	200.015	862.974	n/a
	KG/DAY	1135590.000	n/a	10397.740	47310.602	n/a
	BBL/DAY	98288.281	n/a	111.010	515.328	n/a
Flujo Std. Del Líquido	BBL/DAY	96083.664	n/a	108.919	512.700	n/a
Gravedad Específica (H2O @ 60 F)		0.7441	n/a	0.6010	0.5810	n/a
Peso Molecular		113.536	n/a	51.985	54.823	n/a
Entalpia	BTU/KG	369.323	n/a	58.134	40.193	n/a
CP	BTU/KG-C	2.215	n/a	2.389	2.333	n/a
Tensión Superficial	DYNE/CM	115.538	n/a	93.665	91.807	n/a
Conductividad Termal	BTU/HR-FT-F	n/a	n/a	n/a	n/a	n/a
Viscosidad	CP	n/a	n/a	n/a	n/a	n/a

Capítulo VI

Simulación para definir el proceso y las condiciones de operación de la batería Puerto Ceiba .

Tabla 15.- Esquema Caso 2 componentes del Agua

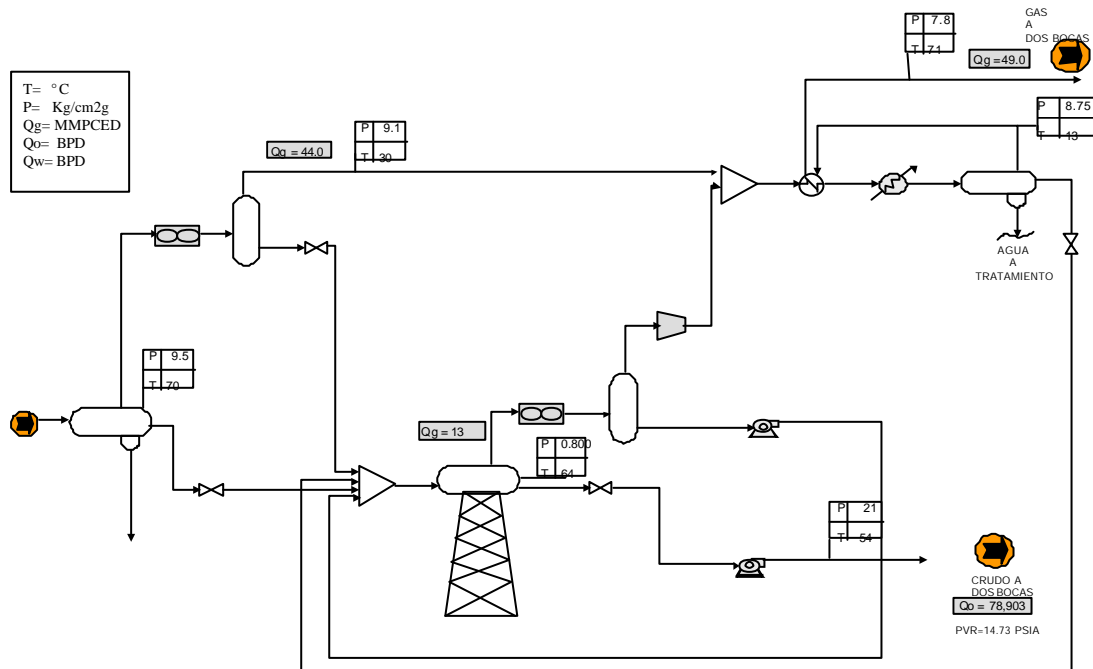
Flujo de Componentes		CORR_AGUA	DESC_W1	DESC_W2	DESC_W3	DESC_W4	DEC_W5
Corriente	Nombre Descripción Fase						
Temperatura	C	144	70.000	67.632	33.000	33.000	20.000
Presión	KG/CM2	911.0165405	18.048	22.027	7.712	17.696	16.993
Peso Molecular		18.01499939	18.024	186.133	18.021	18.026	18.028
Flujo molar del Componente	KG-MOL/DAY						
N2			0.001	0.876	0.000	0.000	0.000
CO2			0.397	159.364	0.016	0.249	0.032
H2SO4			0.249	660.564	0.003	0.080	0.008
METANO			0.054	1766.723	0.002	0.018	0.002
ETANO			0.036	3255.327	0.002	0.017	0.002
PROPANO			0.001	776.558	0.000	0.001	0.000
IBUTANO			0.018	4097.068	0.001	0.011	0.001
BUTANO			0.001	1345.532	0.000	0.001	0.000
IPENTANO			0.002	1877.021	0.000	0.001	0.000
PENTANO			0.000	4095.927	0.000	0.000	0.000
HEXANO			0.000	35600.422	0.000	0.000	0.000
c7+		2643.778564	1530.954	216.915	91.442	663.847	72.998
H2O			0.009	797.157	0.000	0.000	0.000
Total	KG-MOL/DAY	2643.778564	1531.723	54649.453	91.466	664.226	73.043
Fracción Mol del Componente							
N2			0.0000	0.0000	0.0000	0.0000	0.0000
CO2			0.0003	0.0029	0.0002	0.0004	0.0004
H2SO4			0.0002	0.0121	0.0000	0.0001	0.0001
METANO			0.0000	0.0323	0.0000	0.0000	0.0000
ETANO			0.0000	0.0596	0.0000	0.0000	0.0000
PROPANO			0.0000	0.0142	0.0000	0.0000	0.0000
IBUTANO			0.0000	0.0750	0.0000	0.0000	0.0000
BUTANO			0.0000	0.0246	0.0000	0.0000	0.0000
IPENTANO			0.0000	0.0343	0.0000	0.0000	0.0000
PENTANO			0.0000	0.0749	0.0000	0.0000	0.0000
HEXANO			0.0000	0.6514	0.0000	0.0000	0.0000
c7+		1	0.9995	0.0040	0.9997	0.9994	0.9994
H2O			0.0000	0.0146	0.0000	0.0000	0.0000

Tabla 16.- Esquema Caso 2 propiedades de la corriente de agua

Corriente	Nombre Descripción Fase	CORRIENTE AGUA					
		Líquido	DESC_W1	DESC_W2	DESC_W3	DESC_W4	DEC_W5
Propiedades de la Corriente Total							
Flujo	KG-MOL/DAY	2643.779	1531.723	54649.453	91.466	664.226	73.043
	KG/DAY	47627.672	27607.102	10172069.000	1648.318	11973.605	1316.815
Flujo de Líquido Std.	BBL/DAY	299.999	174.006	77159.227	10.386	75.467	8.300
Temperatura	C	144.000	70.000	67.632	33.000	33.000	20.000
Presión	KG/CM2	911.017	18.048	22.027	7.712	17.696	16.993
Peso Molecular		18.015	18.024	186.133	18.021	18.026	18.028
Entalpia	MM BTU/DAY	29.065	7.313	1121.817	0.224	1.641	0.123
	BTU/KG	610.260	264.896	110.284	136.063	137.044	93.362
Fracción Mol del Líquido		1.0000	1.0000	1.0000	1.0000	1.0000	1.0000
Temp. Reducida		0.6444	0.5302	0.5169	0.4730	0.4731	0.4530
Pres.		4.0390	0.0800	0.8563	0.0342	0.0785	0.0754
Factor Acentrico		0.3480	0.3479	0.4966	0.3480	0.3479	0.3479
Watson K (UOPK)		8.762	8.764	11.852	8.763	8.764	8.763
Densidad Std. Del Líquido	KG/BBL	158.759	158.656	131.832	158.710	158.659	158.660
Gravedad Específica		0.9996	0.9989	0.8300	0.9992	0.9989	0.9989
Gravedad API		10.063	10.156	38.978	10.107	10.153	10.152
Propiedades de la Fase Vapor							
Flujo	KG-MOL/DAY	n/a	n/a	n/a	n/a	n/a	n/a
	KG/DAY	n/a	n/a	n/a	n/a	n/a	n/a
	M'FT3/DAY	n/a	n/a	n/a	n/a	n/a	n/a
Flujo Std. De Vapor	M'FT3/DAY	n/a	n/a	n/a	n/a	n/a	n/a
Gravedad Específica (Aire=1.0)		n/a	n/a	n/a	n/a	n/a	n/a
Peso Molecular		n/a	n/a	n/a	n/a	n/a	n/a
Entalpia	BTU/KG	n/a	n/a	n/a	n/a	n/a	n/a
CP	BTU/KG-C	n/a	n/a	n/a	n/a	n/a	n/a
Densidad	KG/M'FT3	n/a	n/a	n/a	n/a	n/a	n/a
Conductividad Termal	BTU/HR-FT-F	n/a	n/a	n/a	n/a	n/a	n/a
Viscosidad	CP	n/a	n/a	n/a	n/a	n/a	n/a
Propiedades de la Fase Líquida							
Flujo	KG-MOL/DAY	2643.779	1531.723	54649.453	91.466	664.226	73.043
	KG/DAY	47627.672	27607.102	10172069.000	1648.318	11973.605	1316.815
	BBL/DAY	330.903	182.589	80420.328	10.543	76.594	8.329
Flujo Std. Del Líquido	BBL/DAY	299.999	174.006	77159.227	10.386	75.467	8.300
Gravedad Específica (H2O @ 60 F)		0.9996	0.9989	0.8300	0.9992	0.9989	0.9989
Peso Molecular		18.015	18.024	186.133	18.021	18.026	18.028
Entalpia	BTU/KG	610.260	264.896	110.284	136.063	137.044	93.362
CP	BTU/KG-C	3.678	3.533	1.936	3.380	3.378	3.330
Densidad	KG/BBL	143.932	151.198	126.486	156.347	156.325	158.098
Tensión Superficial	DYNE/CM	n/a	n/a	n/a	n/a	n/a	n/a
Conductividad Termal	BTU/HR-FT-F	n/a	n/a	n/a	n/a	n/a	n/a
Viscosidad	CP	n/a	n/a	n/a	n/a	n/a	n/a

SEPARACIÓN EN DOS ETAPAS (CASO 3)

La presión de la corriente de entrada en los tres casos es de 918 kg/cm^2 y la diferencia con los casos anteriores, es que en este último se están considerando solamente dos etapas de separación, la primera etapa en presión intermedia que separa a una presión de 9.5 Kg/cm^2 , mientras que la segunda etapa de separación en super baja presión, esta separando 0.8 Kg/cm^2 , para lo cual se utiliza un tanque elevado a 20 mts de altura que ayuda a que el aceite crudo logre su estabilización, liberando la mayor parte de vapores los cuales se enfrián y se recuperan, enviándose con ayuda del compresor a la línea de gas. El gas separado desde la primera etapa es enfriado para recuperar los líquidos condensables para integrarlos a la línea del aceite crudo, el contenido el esquema completo de este proceso se observa en la figura 13.

Figura 13.-Esquema caso 3 Batería Puerto Ceiba

El objetivo como en el caso anterior de poner solamente dos etapas de separación, en primera, fue el de saber si con solamente dos etapas de separación con diferentes condiciones era posible obtener el mismo volumen de condensados que en los casos anteriores, o mejorar todavía con menos equipo, lo cual será un reflejo en los análisis económicos que se realizará de esta etapa.

DESCRIPCIÓN DEL MANEJO DE LA PRODUCCIÓN

Después de separarse el gas, aceite y agua en la primera etapa, el aceite pasará a la segunda etapa de separación, que es el tanque elevado, antes de pasar la corriente de aceite a la segunda etapa, entran a un mezclador las corrientes de condensados obtenidos por el enfriamiento del gas en la rectificación, y esta mezcla de líquidos, que es el aceite crudo estabilizado, es enviada a la Terminal Marítima de Dos Bocas con ayuda de una bomba.

Los vapores liberados en la primera etapa de separación son enviados directamente al intercambiador de calor, al que también recibe la corriente de vapor recuperada en la primera etapa de rectificación. Esta corriente de gas sale con 7.85 kg/cm² para enviarse a la terminal marítima Dos Bocas. Los equipos de enfriamientos considerados son soloaires que trabajan a la temperatura ambiente y enfriadores que utilizan propano.

En las tablas 17, 17-A, 18 y 18-A para el aceite, 19, 19-A, 20, y 20-A para el gas y 21 y 22 para el agua, se muestran las características de las diferentes corrientes manejadas en este proceso así como las características de los componentes, las cuales representan el balance de masa que se lleva a cabo en el mismo.

Capítulo VI

Simulación para definir el proceso y las condiciones de operación de la batería Puerto Ceiba .

Tabla 17.- Esquema caso 3 Componentes del Aceite

Component Rates							
Corriente	Nombre	CORR	AC	AC	AC	AC	AC
	Descripción	LLEGADA	REC1-V3	ST1-V2	V1-M2	TE-V4	V3-B3
Fase		Líquido	Líquido	Líquido	Mezcla	Líquido	Líquido
Temperatura	C	144.000	30.000	70.000	69.007	54.223	54.223
Presión	PSIA	918.020	9.119	9.540	5.041	0.835	0.835
Peso Molecular		113.536	100.310	192.316	192.316	212.438	212.438
Gasto de Componente McKG-MOL/DAY							
N2		320.334	0.000	3.669	3.669	0.013	0.013
CO2		2586.640	0.010	180.258	180.258	5.374	5.374
H2SO4		29799.742	0.047	1100.800	1100.800	14.627	14.627
METANO		11443.756	0.092	1541.146	1541.146	105.639	105.639
ETANO		8602.157	0.184	2558.767	2558.767	555.742	555.742
PROPANO		1378.306	0.053	636.826	636.826	300.230	300.230
IBUTANO		6458.972	0.312	3465.836	3465.836	2125.353	2125.353
BUTANO		1742.223	0.127	1230.311	1230.311	1180.112	1180.112
IPENTANO		2345.844	0.186	1755.036	1755.036	1765.274	1765.274
PENTANO		4629.583	0.551	4084.141	4084.141	4457.497	4457.497
HEXANO		38781.070	0.352	38780.715	38780.715	38781.070	38781.070
c7+			0.004	448.171	448.171	35.004	35.004
H2O		868.387	0.058	868.320	868.320	868.387	868.387
Total	KG-MOL/DAY	108957.016	1.975	56653.996	56653.996	50194.324	50194.324
Fracción Mol del Componente							
N2		0.0029	0.0001	0.0001	0.0001	0.0000	0.0000
CO2		0.0237	0.0050	0.0032	0.0032	0.0001	0.0001
H2SO4		0.2735	0.0239	0.0194	0.0194	0.0003	0.0003
METANO		0.1050	0.0466	0.0272	0.0272	0.0021	0.0021
ETANO		0.0790	0.0930	0.0452	0.0452	0.0111	0.0111
PROPANO		0.0126	0.0270	0.0112	0.0112	0.0060	0.0060
IBUTANO		0.0593	0.1581	0.0612	0.0612	0.0423	0.0423
BUTANO		0.0160	0.0642	0.0217	0.0217	0.0235	0.0235
IPENTANO		0.0215	0.0940	0.0310	0.0310	0.0352	0.0352
PENTANO		0.0425	0.2789	0.0721	0.0721	0.0888	0.0888
HEXANO		0.3559	0.1782	0.6845	0.6845	0.7726	0.7726
c7+		0.0018	0.0079	0.0079	0.0079	0.0007	0.0007
H2O		0.0080	0.0293	0.0153	0.0153	0.0173	0.0173

Tabla 17-A.- Esquema caso 3 Componentes del Aceite

Component Rates							
Corriente	Nombre	CORR	AC	AC	AC	AC	AC
	Descripción	LLEGADA	VAL2-M2	M1-TE	REC3-V5	REC2-B2	B1-M2
Fase		Líquido	Mezcla	Mezcla	Líquido	Líquido	Mezcla
Temperatura	C	144.000	27.759	64.755	13.000	30.000	30.052
Presión	PSIA	918.020	5.041	5.041	8.275	0.483	5.603
Peso Molecular		113.536	100.310	173.241	60.776	196.768	196.768
Gasto de Componente McKG-MOL/DAY							
N2		320.334	0.000	4.401	0.732	0.000	0.000
CO2		2586.640	0.010	233.948	53.680	0.000	0.000
H2SO4		29799.742	0.047	1345.934	245.087	0.000	0.000
METANO		11443.756	0.092	2124.320	583.082	0.000	0.000
ETANO		8602.157	0.184	4030.541	1471.587	0.003	0.003
PROPANO		1378.306	0.053	1153.437	516.557	0.002	0.002
IBUTANO		6458.972	0.312	6442.155	2975.995	0.012	0.012
BUTANO		1742.223	0.127	2238.956	1008.511	0.008	0.008
IPENTANO		2345.844	0.186	3010.333	1255.099	0.012	0.012
PENTANO		4629.583	0.551	5578.841	1494.115	0.034	0.034
HEXANO		38781.070	0.352	38781.281	0.033	0.181	0.181
c7+		0.004	450.899	2.724	0.000	0.000	2.724
H2O		868.387	0.058	868.448	0.056	0.015	0.015
Total	KG-MOL/DAY	108957.016	1.975	66263.492	9607.257	0.267	0.267
Fracción Mol del Componente							
N2		0.0029	0.0001	0.0001	0.0001	0.0000	0.0001
CO2		0.0237	0.0050	0.0035	0.0056	0.0001	0.0056
H2SO4		0.2735	0.0239	0.0203	0.0255	0.0002	0.0002
METANO		0.1050	0.0466	0.0321	0.0607	0.0017	0.0017
ETANO		0.0790	0.0930	0.0608	0.1532	0.0104	0.1532
PROPANO		0.0126	0.0270	0.0174	0.0538	0.0062	0.0062
IBUTANO		0.0593	0.1581	0.0972	0.3098	0.0465	0.0465
BUTANO		0.0160	0.0642	0.0338	0.1050	0.0286	0.0286
IPENTANO		0.0215	0.0940	0.0454	0.1306	0.0445	0.0445
PENTANO		0.0425	0.2789	0.0842	0.1555	0.1289	0.1289
HEXANO		0.3559	0.1782	0.5853	0.0000	0.6776	0.6776
c7+		0.0018	0.0068	0.0003	0.0003	0.0007	0.0007
H2O		0.0080	0.0293	0.0131	0.0000	0.0546	0.0546

Capítulo VI

Simulación para definir el proceso y las condiciones de operación de la batería Puerto Ceiba .

Tabla 18.- Esquema caso 3 Propiedades de la corriente de aceite

Corriente	Nombre	CORR	Aceite	Aceite	Aceite	Aceite	Aceite	Aceite
	Descripción	LLEGADA	ST1-M1	M1-V1	V1_ST2	ST2-M3	V2-ST-3	M3-V2
	Fase	Líquido	Líquido	Mezcla	Mezcla	Líquido	Mezcla	Mezcla
Propiedades de la Corriente Total								
Flujo	KG-MOL/DAY	100020.711	59986.227	67131.102	67131.102	59657.324	63954.504	63954.504
	KG/DAY	11355974	10284781	10588880	10588880	10374151	10565456	10565456
Flujo de Líquido Std	BBL/DAY	98488	81580	85041	85041	82140	84209	84209
Temperatura	C	100.000	100.000	96.987	96.952	95.325	93.680	93.747
Presión	PSIA	13057	398	383	378	242	232	237
Peso Molecular		113.536	171.452	157.734	157.734	173.896	165.203	165.203
Entalpia	MM BTU/DAY	3247.990	1875.239	1890.293	1890.293	1780.258	1794.182	1794.182
	BTU/KG	286.015	182.331	178.516	178.516	171.604	169.815	169.815
Fracción Mol del Líquido		1.0000	1.0000	0.9573	0.9552	1.0000	0.9715	0.9742
Temp.Reducida		0.7991	0.6094	0.6242	0.6241	0.5922	0.5997	0.5998
Pres.		26.3150	1.0023	0.8048	0.7943	0.6263	0.5202	0.5314
Factor Acentrico		0.3051	0.4660	0.4378	0.4378	0.4745	0.4579	0.4579
Watson K (UOPK)		12.651	12.239	12.285	12.285	12.227	12.250	12.250
Densidad Std. Del Líquido	G/CM3	0.725	0.793	0.783	0.783	0.794	0.789	0.789
Gravedad Específica		0.7260	0.7937	0.7839	0.7839	0.7952	0.7899	0.7899
Gravedad API		63.417	46.770	48.996	48.996	46.448	47.626	47.626
Propiedades de la Fase Vapor								
Flujo	KG-MOL/DAY	n/a	n/a	1428.494	1573.512	n/a	717.222	534.716
	KG/DAY	n/a	n/a	39779	43949	n/a	23089	17111
	M'FT3/DAY	n/a	n/a	0.055	0.061	n/a	0.045	0.033
Flujo Std. De Vapor	M'FT3/DAY	n/a	n/a	1.195	1.316	n/a	0.600	0.447
Gravedad Específica (Aire=1.0)		n/a	n/a	0.961	0.964	n/a	1.111	1.105
Peso Molecular		n/a	n/a	27.847	27.930	n/a	32.192	31.999
Entalpia	BTU/KG	n/a	n/a	493.088	494.148	n/a	525.970	524.319
CP	BTU/KG-C	n/a	n/a	2.099	2.096	n/a	2.012	2.015
Densidad	G/CM3	n/a	n/a	0.026	0.025	n/a	0.018	0.018
Conductividad Termal	BTU/HR-FT-F	n/a						
Viscosidad	CP	n/a						
Propiedades de la Fase Líquida								
Flujo	KG-MOL/DAY	100020.711	59986.227	65702.609	65557.594	59657.324	63237.281	63419.785
	KG/DAY	11355974.000	10284781.000	10549101.000	10544932.000	10374151.000	10542368.000	10548346.000
	BBL/DAY	97476.977	88318.352	91442.844	91362.109	88488.500	90373.227	90480.984
Flujo Std. Del Líquido	BBL/DAY	98488.086	81579.945	84439.273	84377.203	82140.234	83883.344	83966.867
Gravedad Específica (H2O @ 60 F)		0.7260	0.7937	0.7866	0.7866	0.7952	0.7913	0.7909
Peso Molecular		113.536	171.452	160.558	160.850	173.896	166.711	166.326
Entalpia	BTU/KG	286.015	182.331	177.330	177.201	171.604	169.035	169.240
CP	BTU/KG-C	2.119	2.135	2.139	2.138	2.118	2.121	2.122
Densidad	G/CM3	0.733	0.732	0.726	0.726	0.737	0.734	0.733
Tensión Superficial	DYNE/CM	n/a						
Conductividad Termal	BTU/HR-FT-F	n/a						
Viscosidad	CP	n/a						

Capítulo VI

Simulación para definir el proceso y las condiciones de operación de la batería Puerto Ceiba .

Tabla 20-A.- Esquema caso 3 Propiedades de la corriente de gas

Corriente Nombre Descripción Fase	CORR	GAS	GAS	GAS	GAS	GAS	GAS
	LLEGADA Líquido	M2-IC2 Vapor	REC3-IC2 Vapor	IC1-IC3 Mezcla	IC2-REC4 Mezcla	IC1-TMDB Vapor	R2-C2 Vapor
Propiedades de la Corriente Total							
Rate	KG-MOL/DAY	108957.016	69065.766	58902.902	69065.766	58903.527	16066.912
Flujo de Líquido Std.	KG/DAY	12370568.000	2303719.500	1709824.000	2303719.500	1709896.625	816226.125
Temperatura	BBL/DAY	104668.063	32118.039	25780.059	32118.039	25780.648	9386.968
Presión	PSIA	144.000	76.183	13.000	39.510	13.000	71.183
Peso Molecular		918.020	9.119	8.275	8.697	8.275	7.853
Entalpia	MM BTU/DAY	113.536	33.355	29.028	33.355	33.355	0.483
	BTU/KG	4578.721	1034.127	538.941	851.364	552.520	50.802
Fracción Mol del Líquido		370.129	448.893	315.201	369.559	239.837	343.316
Temp. Reducida		1.0000	0.0000	0.0000	0.0151	0.1391	0.0000
Pres.		0.8807	1.1859	1.0594	1.0614	0.9714	1.2748
Factor Acentrico		25.9803	0.1917	0.1745	0.1829	0.1740	0.1656
Watson K (UOPK)		0.3006	0.0993	0.0797	0.0993	0.0993	0.0797
Densidad Std. Del Líquido	G/CM3	12.362	15.522	16.227	15.522	15.522	16.227
Gravedad Específica		118.189	71.727	66.323	71.727	71.727	66.325
Gravedad API		0.7441	0.4516	0.4176	0.4516	0.4516	0.5475
Viscosidad	CP	58.658	181.835	207.362	181.835	181.835	207.355
Propiedades de la Fase Vapor							
Flujo	KG-MOL/DAY	n/a	69065.766	58902.902	67929.328	58902.902	58903.527
	KG/DAY	n/a	2303719.500	1709824.000	2231281.250	1709824.000	1709896.625
	M ³ /FT3/DAY	n/a	7.578	5.755	6.887	5.755	7.512
Flujo Std. De Vapor	M ³ /FT3/DAY	n/a	57.782	49.279	56.831	49.279	49.280
Gravedad Específica (Aire=1.0)		n/a	1.152	1.002	1.134	1.002	1.002
Peso Molecular		n/a	33.355	29.028	32.847	29.028	29.029
Entalpia	BTU/KG	n/a	448.893	315.201	378.874	315.201	422.089
CP	BTU/KG-C	n/a	1.926	1.747	1.810	1.747	1.913
Densidad	G/CM3	n/a	303986.594	297078.094	324000.438	297078.094	227620.828
Conductividad Termal	BTU/HR-FT-F	n/a	n/a	n/a	n/a	n/a	n/a
Viscosidad	CP	n/a	n/a	n/a	n/a	n/a	n/a
Propiedades de la Fase Líquido							
Flujo	KG-MOL/DAY	108957.016	n/a	n/a	1136.436	10162.859	n/a
	KG/DAY	12370568.000	n/a	n/a	72438.203	593895.500	n/a
	BBL/DAY	107018.500	n/a	n/a	769.531	6294.447	n/a
Flujo Std. Del Líquido	BBL/DAY	104668.063	n/a	n/a	737.929	6337.979	n/a
Gravedad Específica (H2O @ 60 F)		0.7441	0.9908	n/a	0.6180	0.5900	n/a
Peso Molecular		113.536	18.521	n/a	63.742	58.438	n/a
Entalpia	BTU/KG	370.129	n/a	n/a	82.646	22.865	n/a
CP	BTU/KG-C	2.214	n/a	n/a	2.356	2.260	n/a
Densidad	G/CM3	115.593	156.437	n/a	94.133	94.352	n/a
Tensión Superficial	DYNE/CM	n/a	n/a	n/a	n/a	n/a	n/a
Conductividad Termal	BTU/HR-FT-F	n/a	n/a	n/a	n/a	n/a	n/a
Viscosidad	CP	n/a	n/a	n/a	n/a	n/a	n/a

Tabla 21.- Esquema caso 3 Componentes del Agua

Corriente Nombre Descripción Fase	Component Rates			
	CORR.AGUA	DESC._W1		
		Aqua	Aqua	Aqua
Temperatura	C	144.000	70.000	13.000
Presión	PSIA	918.020	9.540	8.275
Peso Molecular		18.015	18.015	18.015
Gasto de Componente Mol/KG-MOL/DAY				
N ₂				
CO ₂				
H ₂ SO ₄				
METANO				
ETANO				
PROPANO				
IBUTANO				
BUTANO				
IPENTANO				
PENTANO				
HEXANO				
c7+		2643.779	389.200	555.604
H ₂ O				1556.775
Total	KG-MOL/DAY	2643.779	389.200	555.604
Fracción Mol del Componente				
N ₂				
CO ₂				
H ₂ SO ₄				
METANO				
ETANO				
PROPANO				
IBUTANO				
BUTANO				
IPENTANO				
PENTANO				
HEXANO				
c7+		1.0000	1.0000	1.0000
H ₂ O				1.0000

Capítulo VI

Simulación para definir el proceso y las
condiciones de operación de la batería
Puerto Ceiba .

Tabla 22.- Esquema caso 3 Propiedades de la corriente del agua

Corriente Nombre Descripción Fase	DESC_W1 DESC_W2 Aqua	DESC_W1 DESC_W2 Aqua	CORR.AGUA CORR.AGUA Aqua	DESC_W2 DESC_W3 Aqua	DESC_W1 DESC_W2 Aqua
Propiedades de la Corriente Total					
Rate	KG-MOL/DAY KG/DAY 28045.291	1556.775 176.653 7011.437	389.200 44.164 47627.672	2643.779 299.999 10009.204	555.604 63.046 28045.291
Flujo de Líquido Std.	BBL/DAY				
Temperatura	C	30.000	70.000	144.000	13.000 30.000
Presión	PSIA	9.119	9.540	918.020	8.275 9.119
Peso Molecular		18.015	18.015	18.015	18.015
Entalpya	MM BTU/DAY BTU/KG	3.339 119.069	1.946 277.518	56.734 1191.203	0.518 51.703 119.069
Fracción Mol del Líquido		0.0000	0.0000	0.0000	0.0000
Temp. Reducida		0.4683	0.5301	0.6444	0.4420 0.4683
Pres.		0.0404	0.0423	4.0701	0.0367 0.0404
Factor Acentrico		0.3480	0.3480	0.3480	0.3480 0.3480
Watson K (UOPK)		8.762	8.762	8.762	8.762 8.762
Densidad Std. Del Líquido	G/CM3	158.759	158.759	158.759	158.759 158.759
Gravedad Específica		0.9996	0.9996	0.9996	0.9996 0.9996
Gravedad API		10.063	10.063	10.063	10.063 10.063
Propiedades de la Fase Vapor					
Flujo	KG-MOL/DAY KG/DAY M'FT3/DAY	n/a n/a n/a	n/a n/a n/a	n/a n/a n/a	n/a n/a n/a
Flujo Std. De Vapor	M'FT3/DAY				
Gravedad Específica (Aire=1.0)		n/a	n/a	n/a	n/a
Peso Molecular		n/a	n/a	n/a	n/a n/a
Entalpya	BTU/KG	n/a	n/a	n/a	n/a n/a
CP	BTU/KG-C	n/a	n/a	n/a	n/a n/a
Densidad	G/CM3	n/a	n/a	n/a	n/a n/a
Conductividad Térmica	BTU/HR-FT-F	n/a	n/a	n/a	n/a n/a
Viscosidad	CP	n/a	n/a	n/a	n/a n/a
Propiedades de la Fase Líquida					
Flujo	KG-MOL/DAY KG/DAY BBL/DAY	1556.775 28045.291 177.207	389.200 7011.437 45.101	2643.779 47627.672 324.758	555.604 10009.204 63.015 177.207
Flujo Std. Del Líquido	BBL/DAY	176.653	44.164	299.999	63.046 176.653
Gravedad Específica (H2O @ 60 F)		0.9996	0.9996	0.9996	0.9996 0.9996
Peso Molecular		18.015	18.015	18.015	18.015 18.015
Entalpya	BTU/KG	119.069	277.518	1191.203	51.703 119.069
CP	BTU/KG-C	3.959	3.970	29.280	3.967 3.959
Densidad	G/CM3	158.263	155.460	146.656	158.838 158.263
Tensión Superficial	DYNE/CM	71.0206	64.7868	50.2366	73.2227 71.0206
Conductividad Térmica	BTU/HR-FT-F	0.35660	0.38105	0.39763	0.34290 0.35660
Viscosidad	CP	0.79699	0.40047	0.18925	1.19684 0.79699